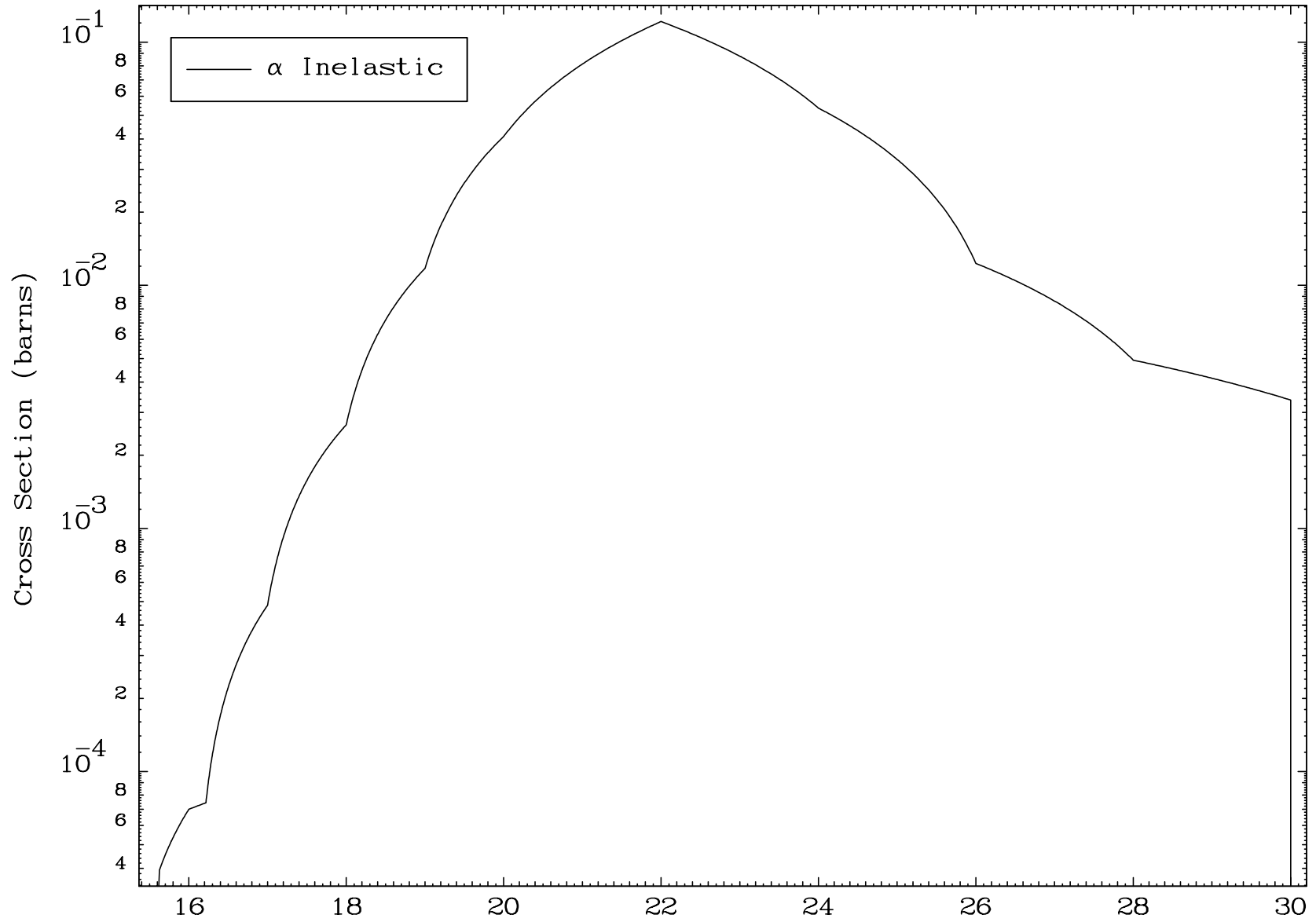


MAT 8325

(α, n') Level
0 Kelvin Cross Sections

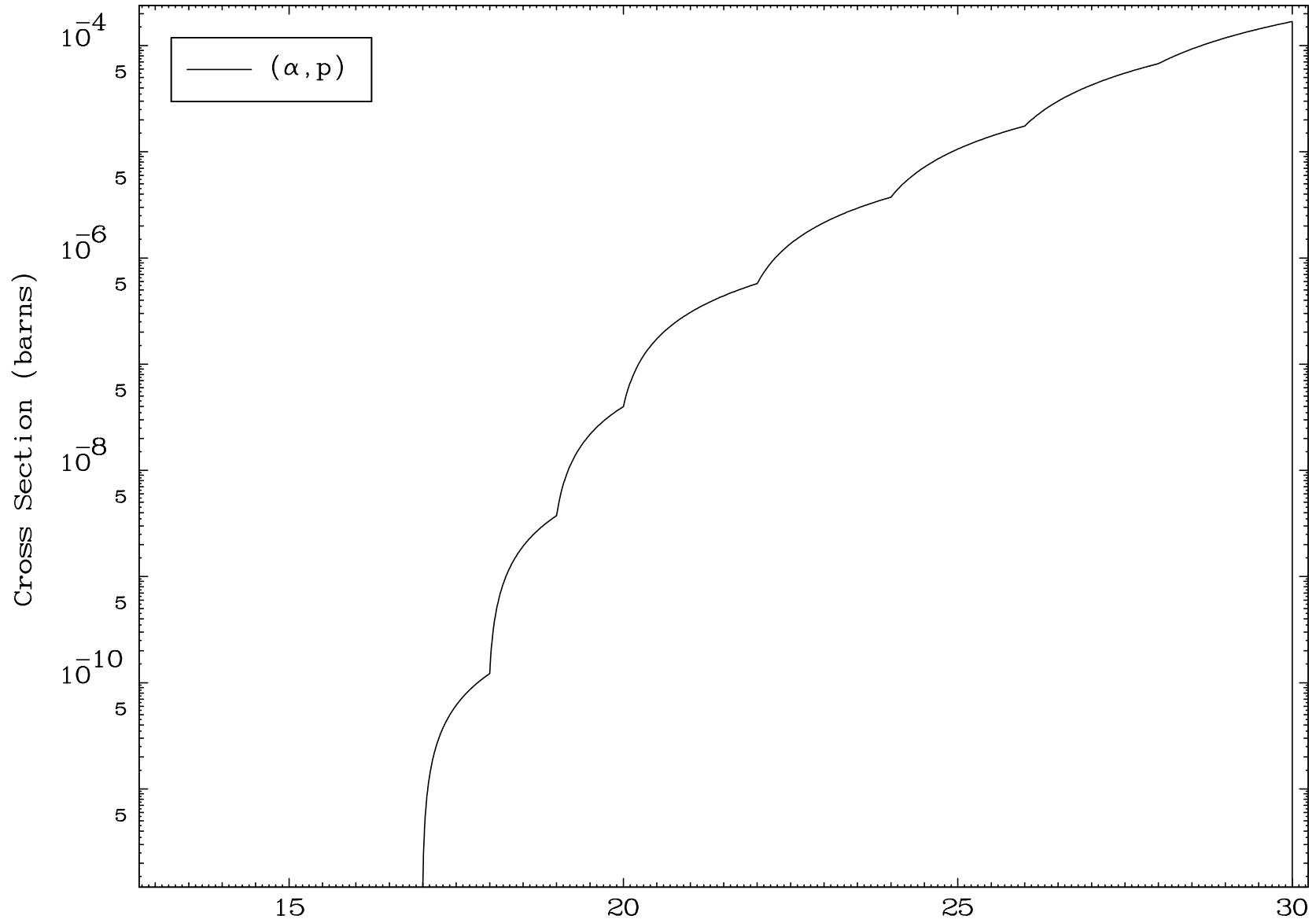
83-Bi-209

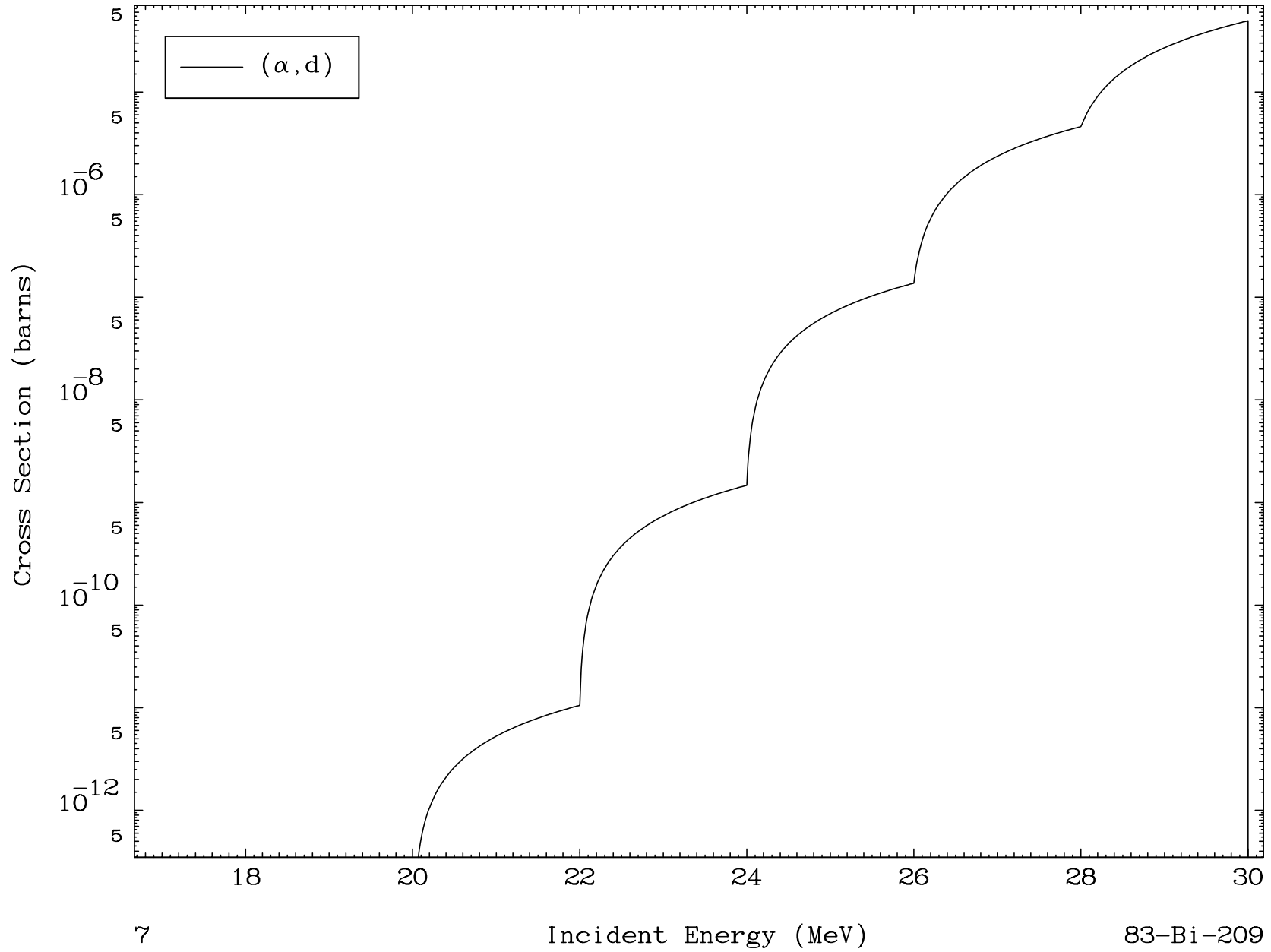


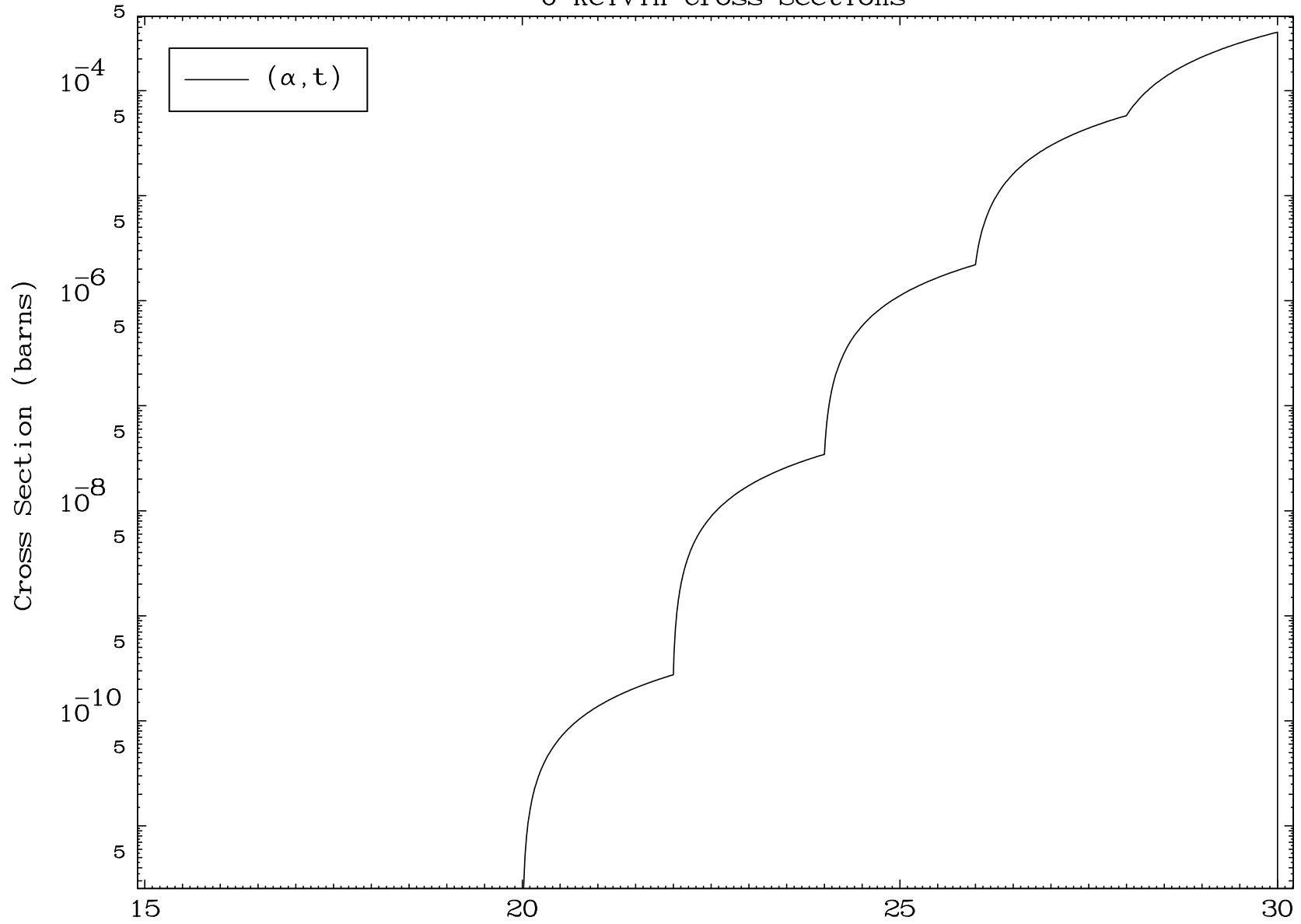
5

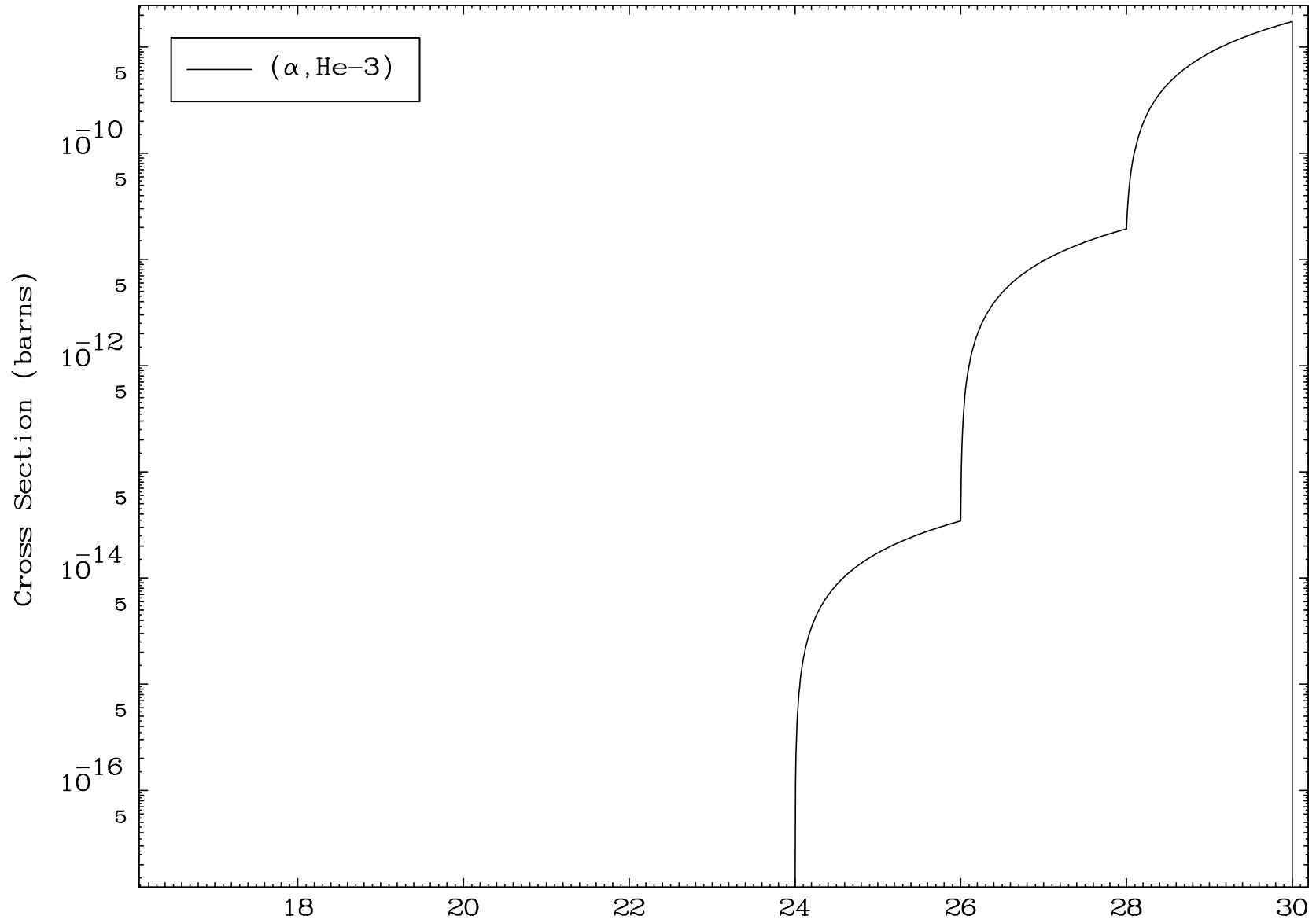
Incident Energy (MeV)

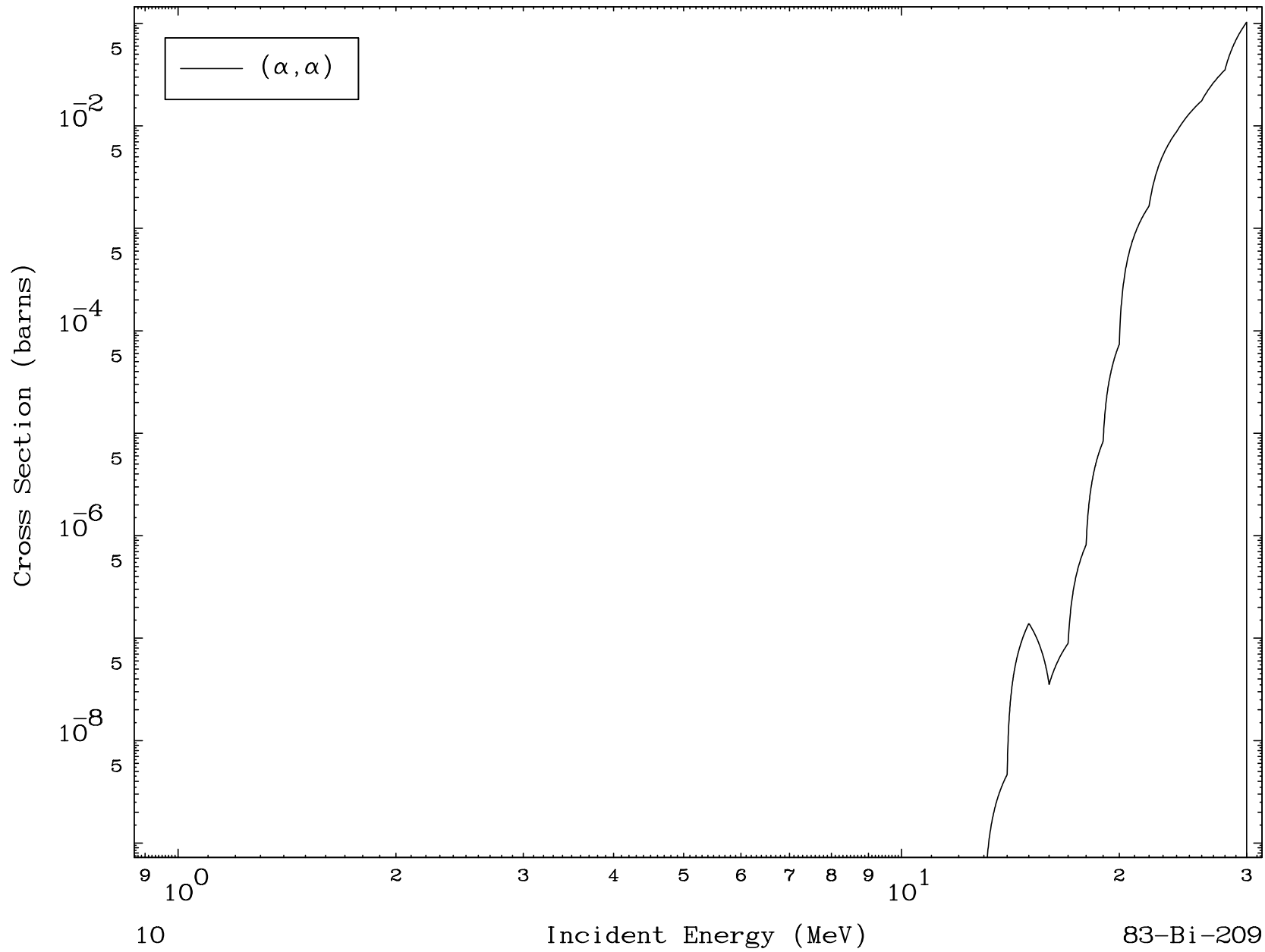
83-Bi-209







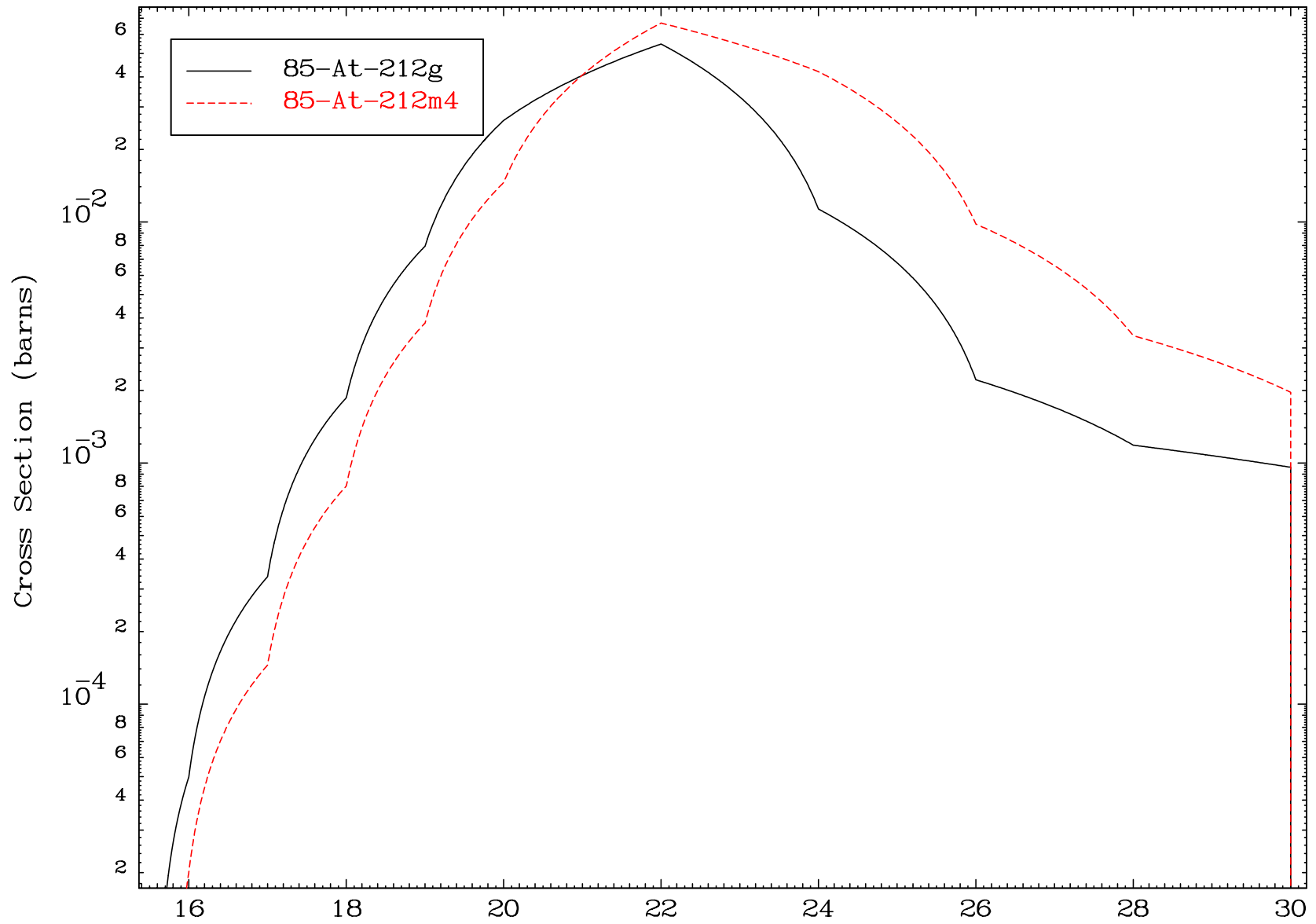




MAT 8325

α Inelastic
Radionuclide Production Cross Section

83-Bi-209

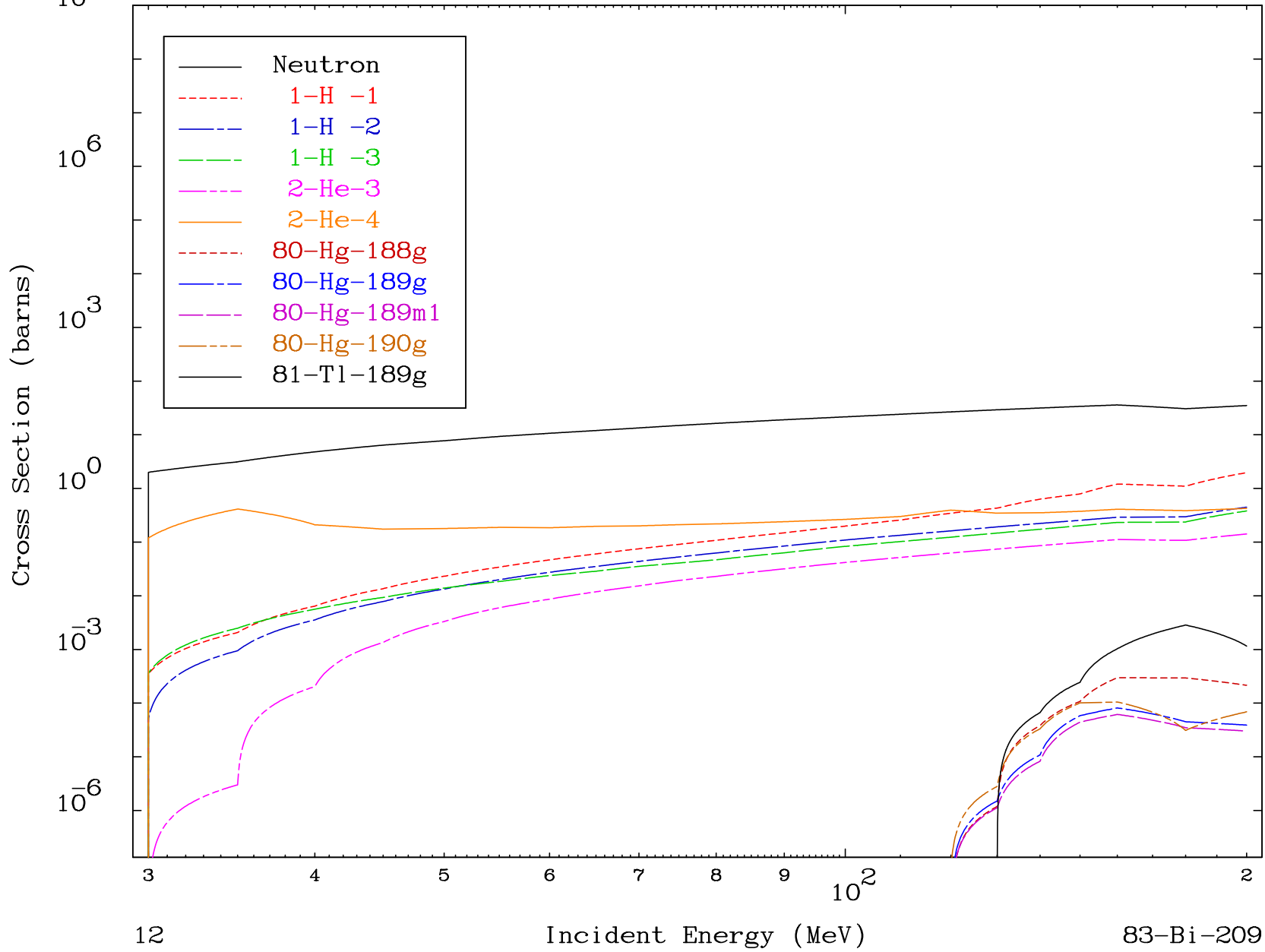


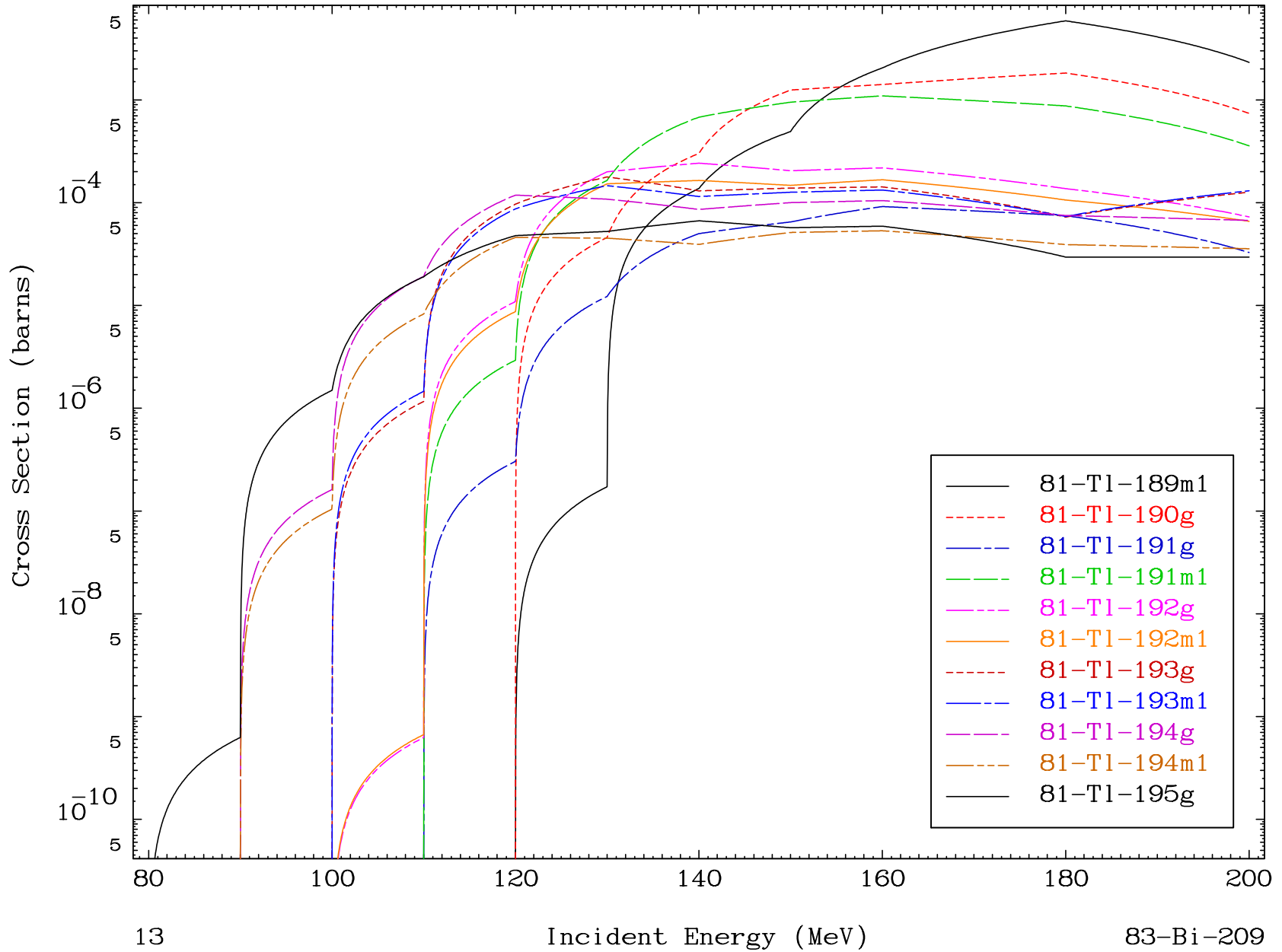
11

Incident Energy (MeV)

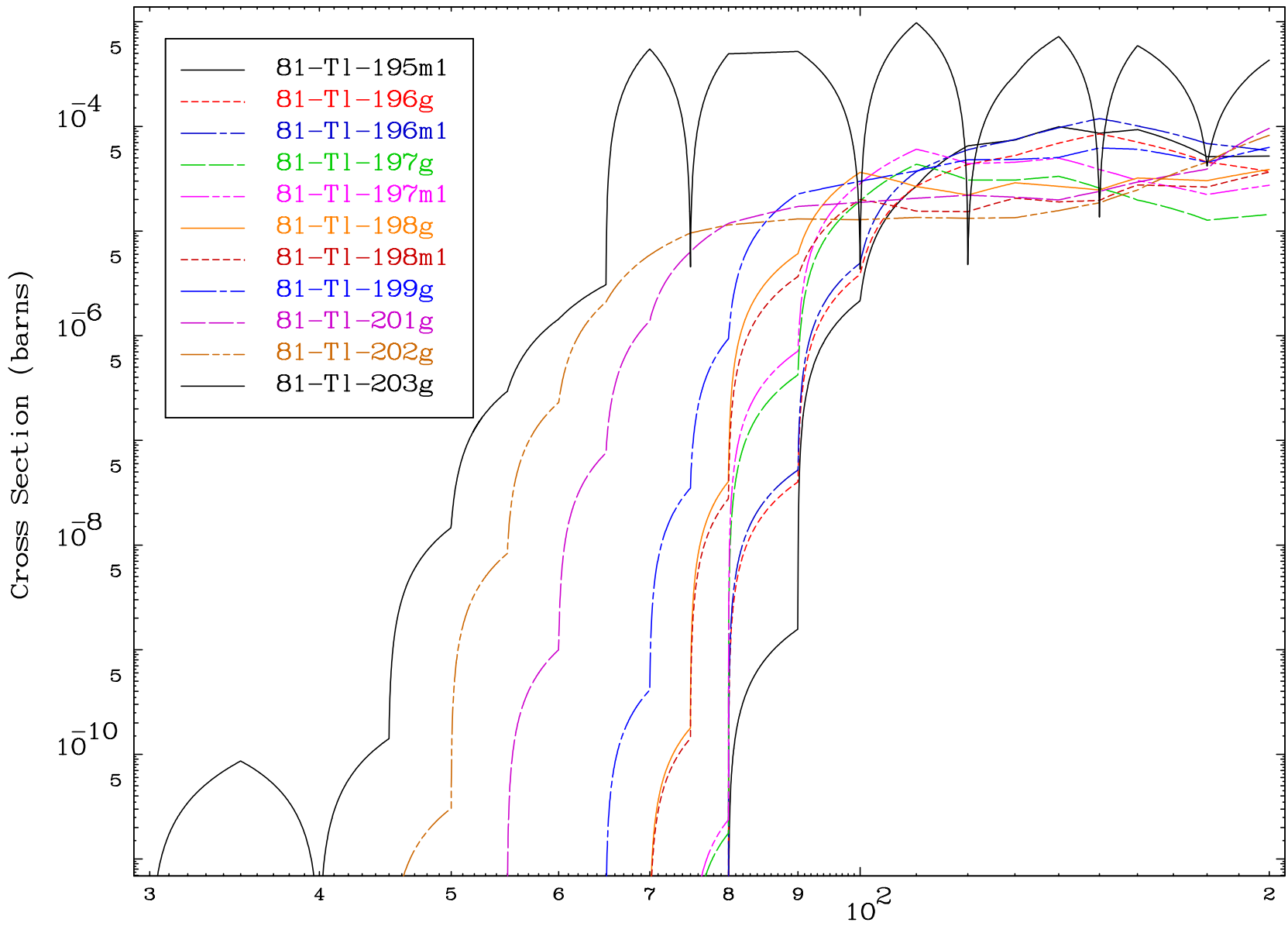
83-Bi-209

Radionuclide Production Cross Section

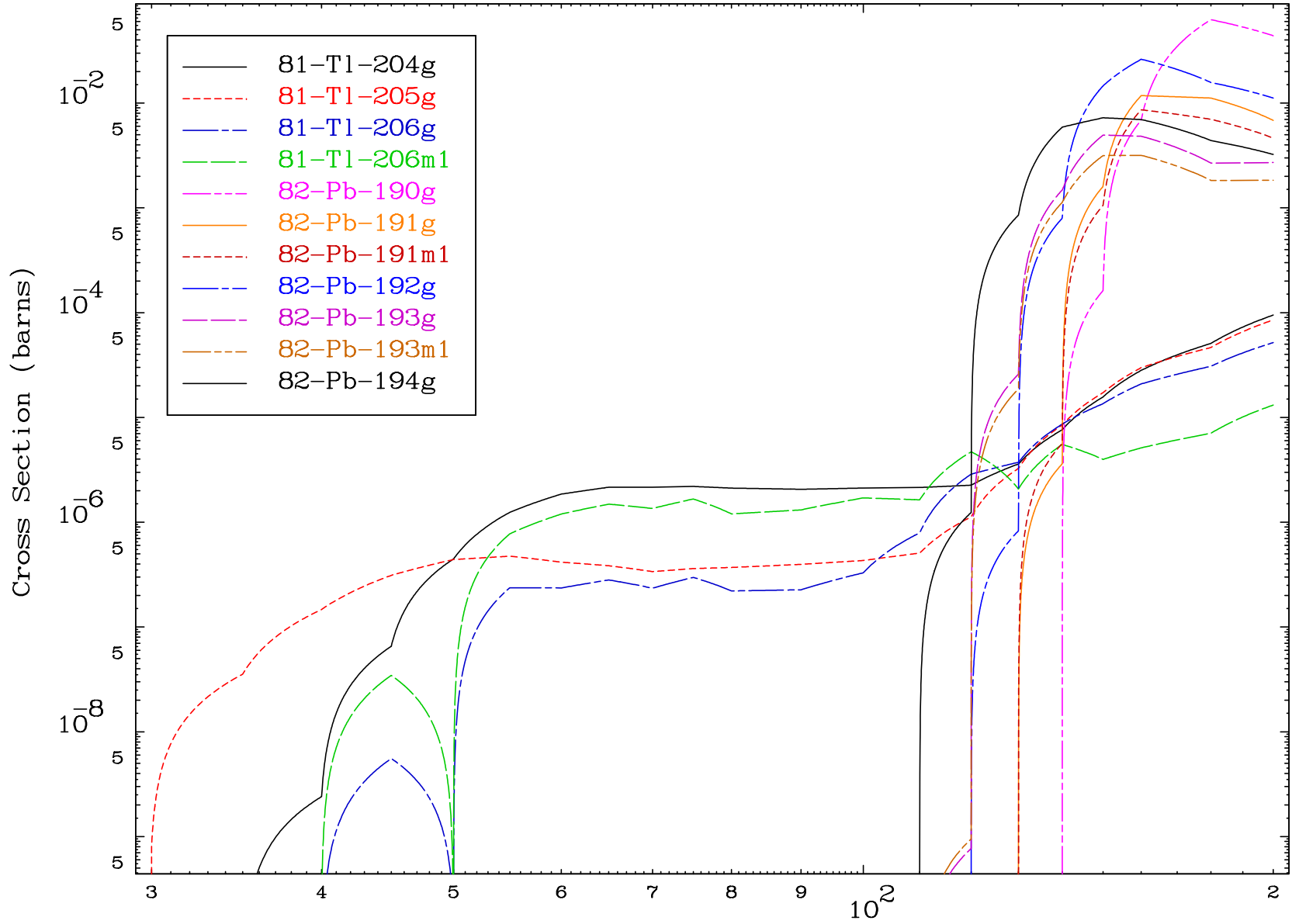




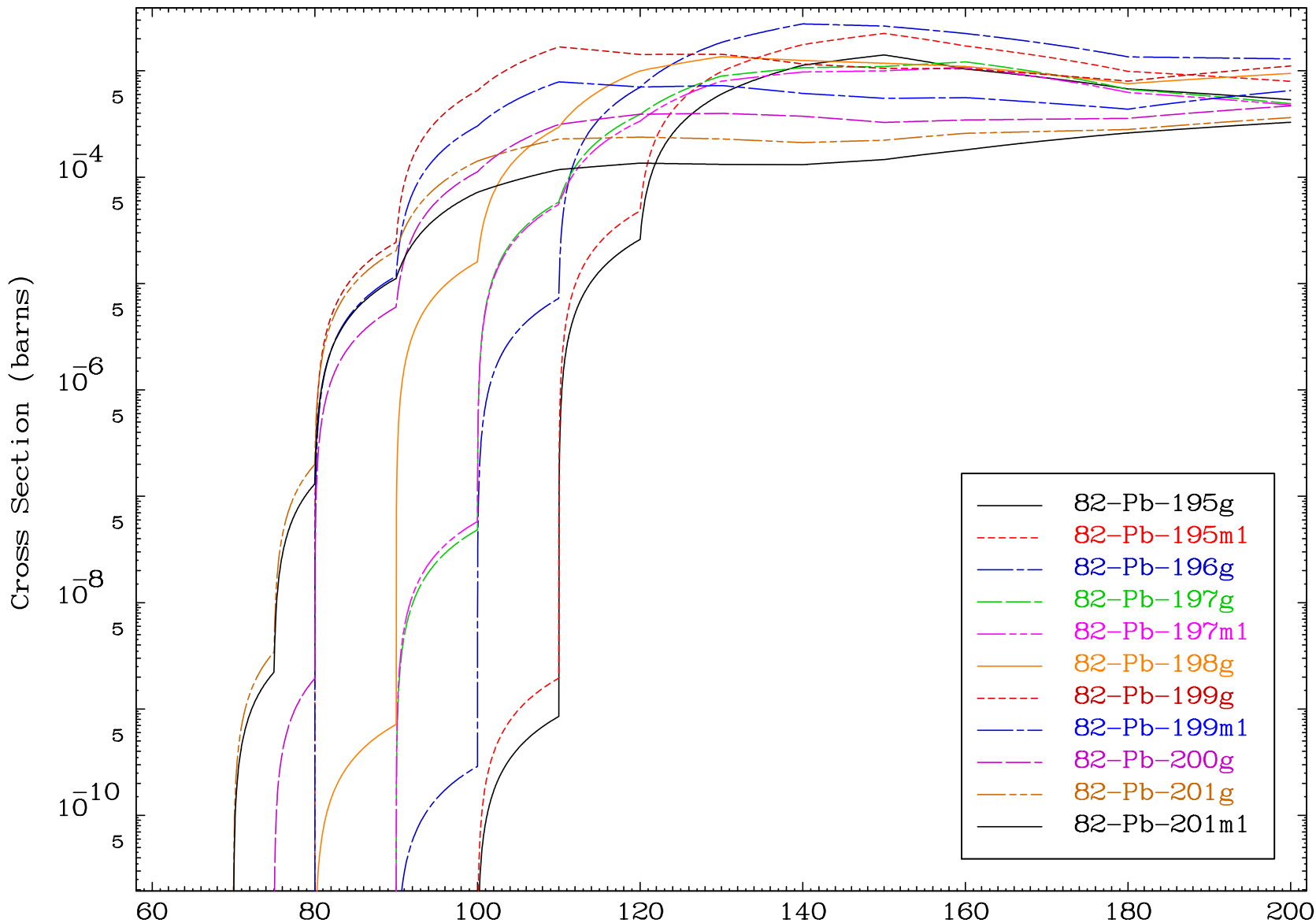
Radionuclide Production Cross Section

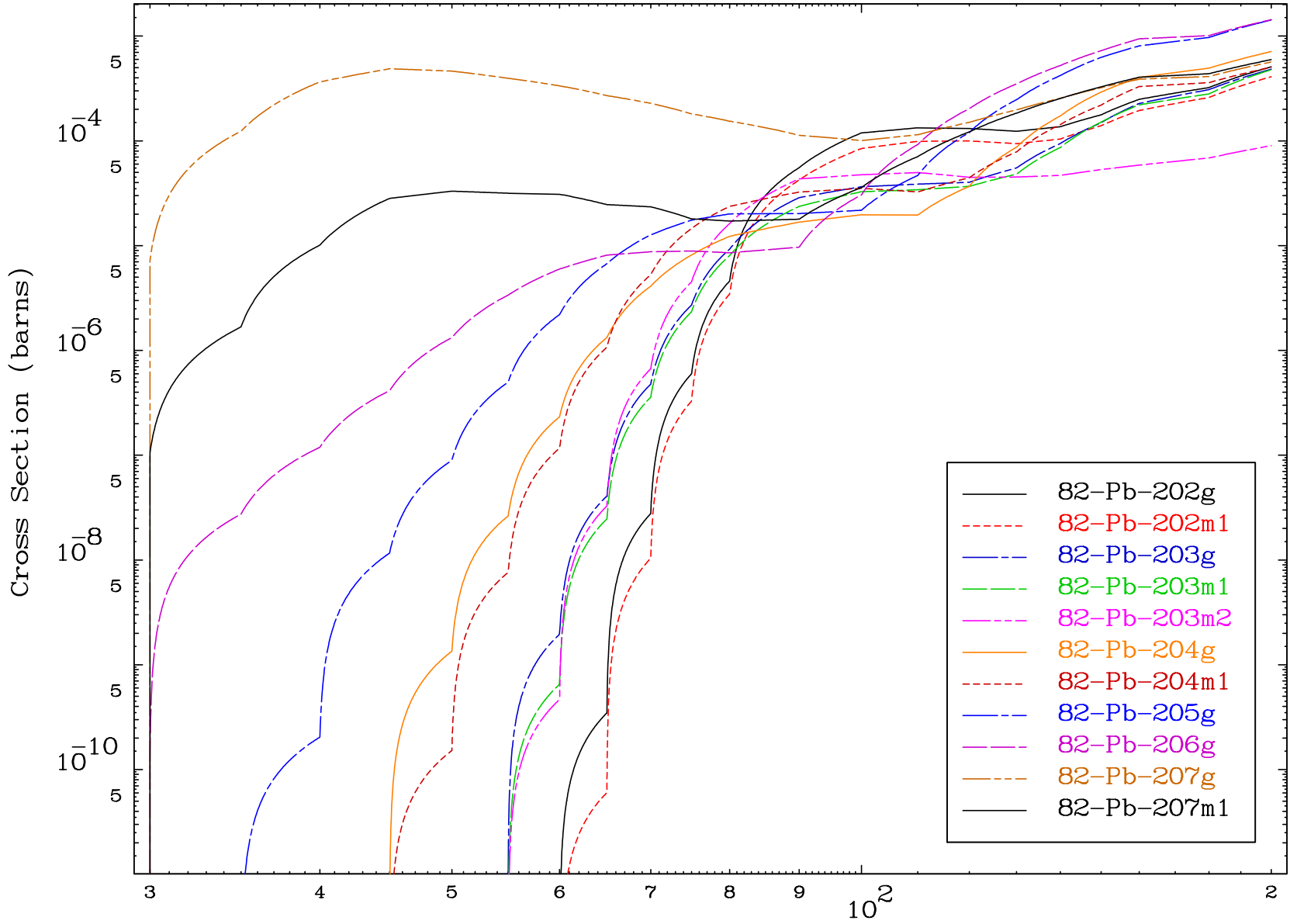


Radionuclide Production Cross Section



Radionuclide Production Cross Section



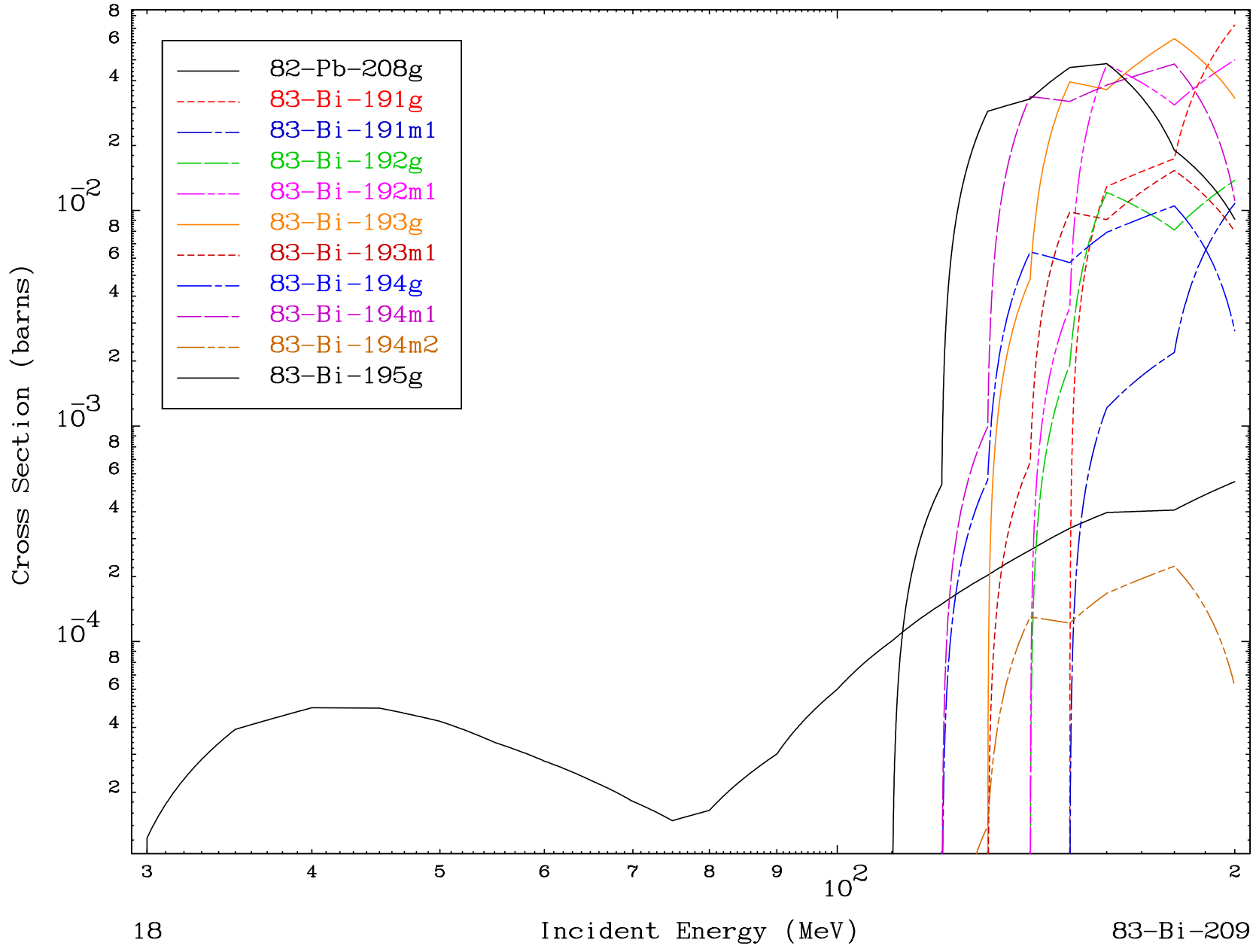


MAT 8325

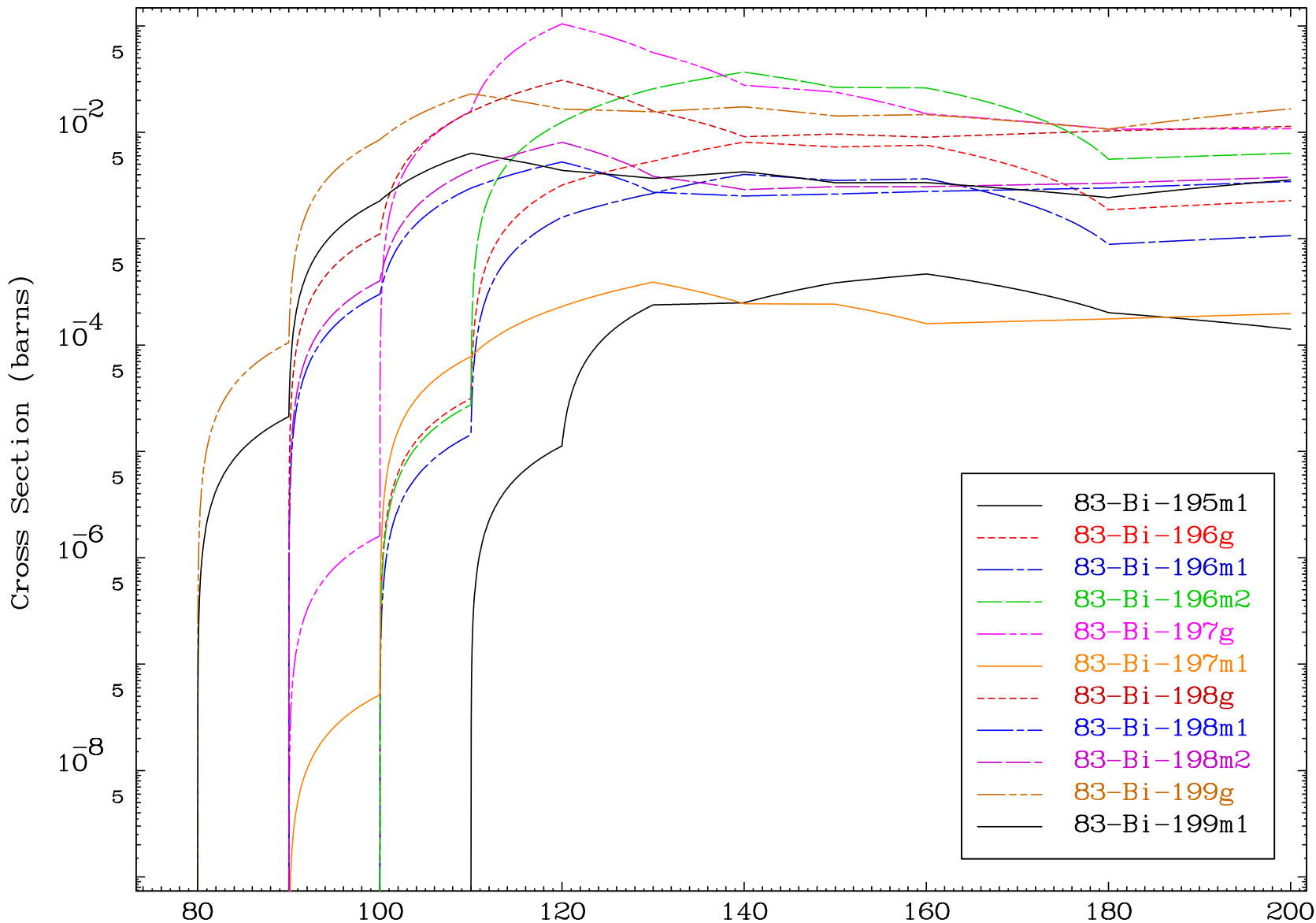
(α , remainder)

83-Bi-209

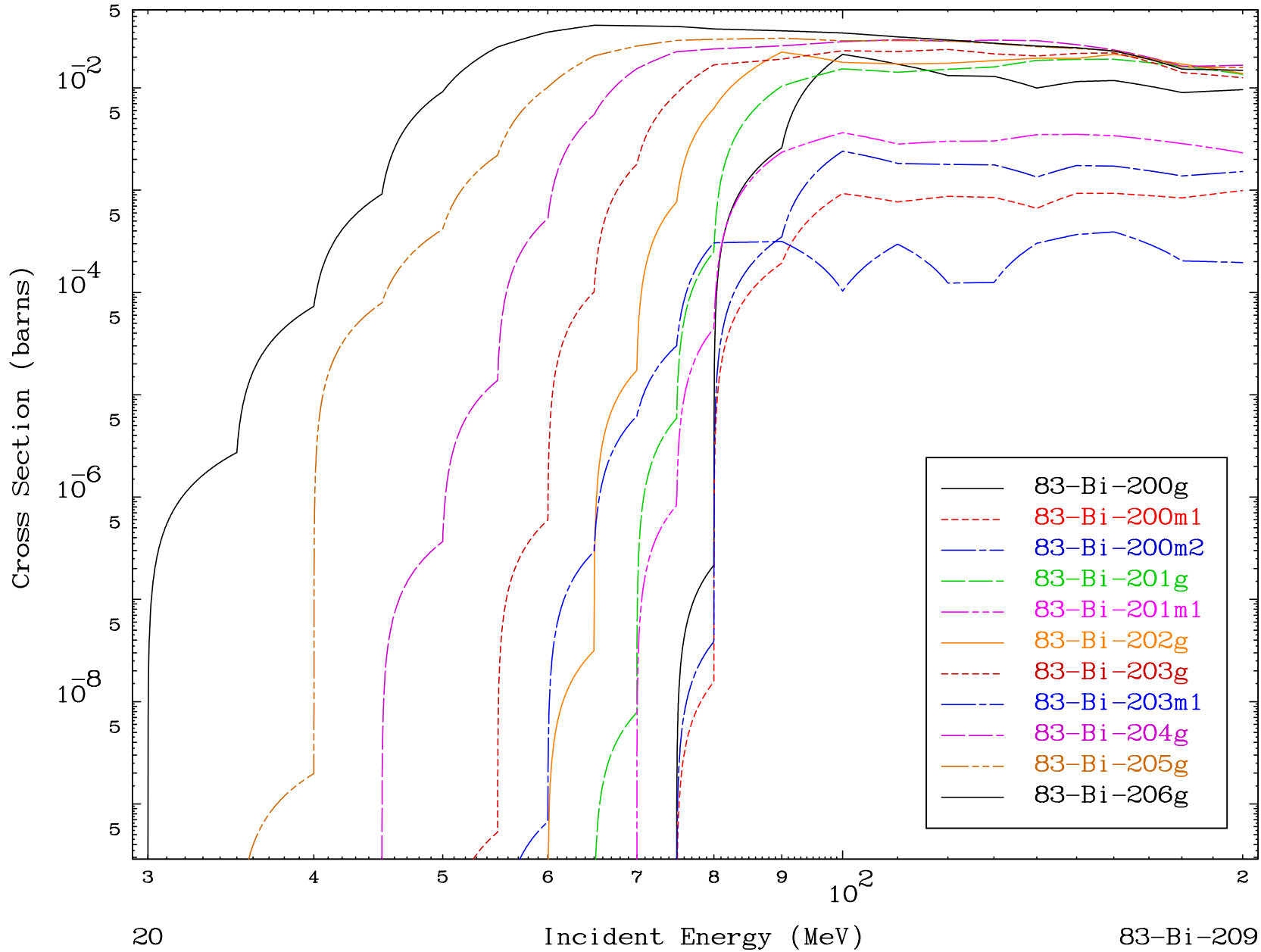
Radionuclide Production Cross Section



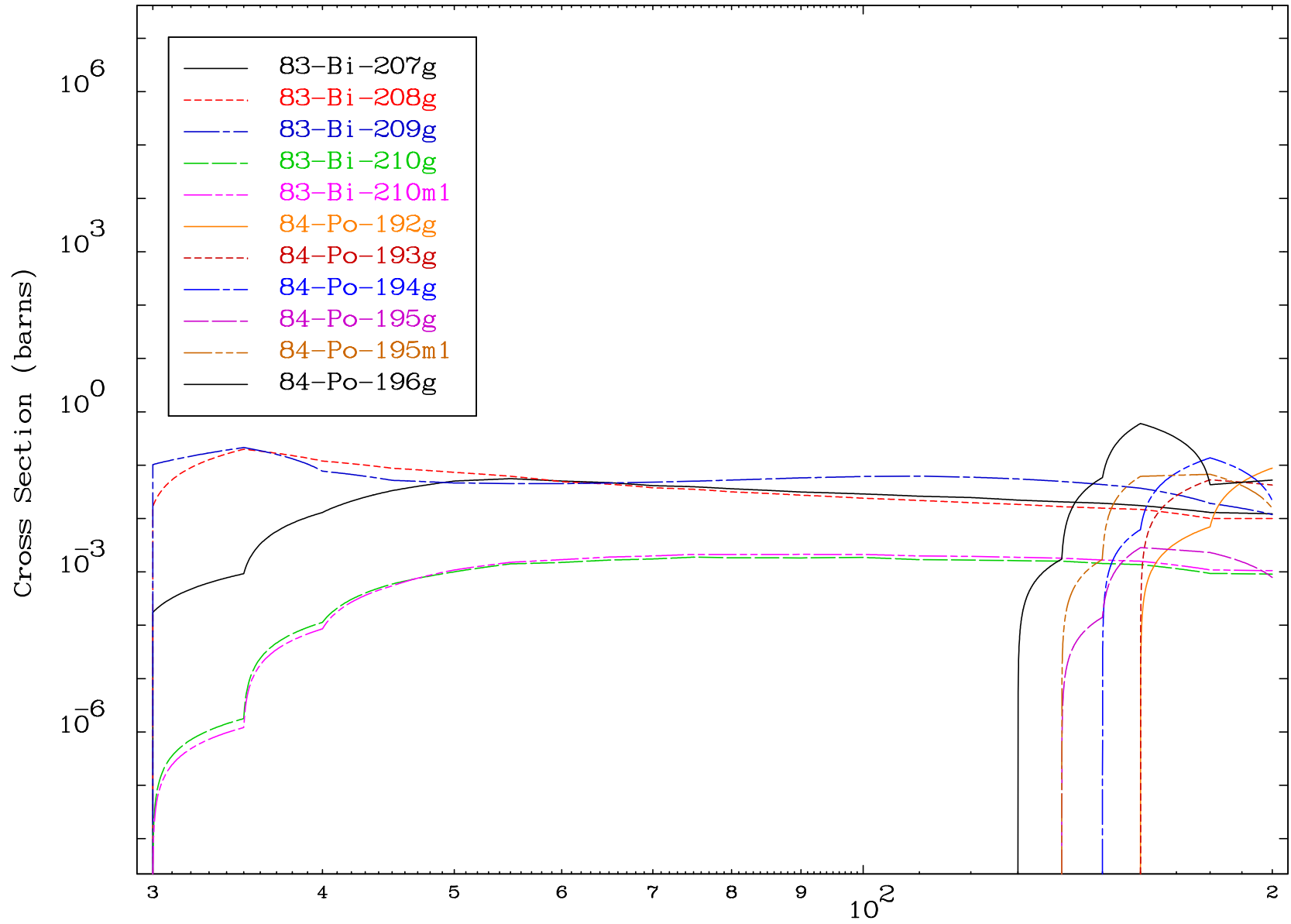
Radionuclide Production Cross Section

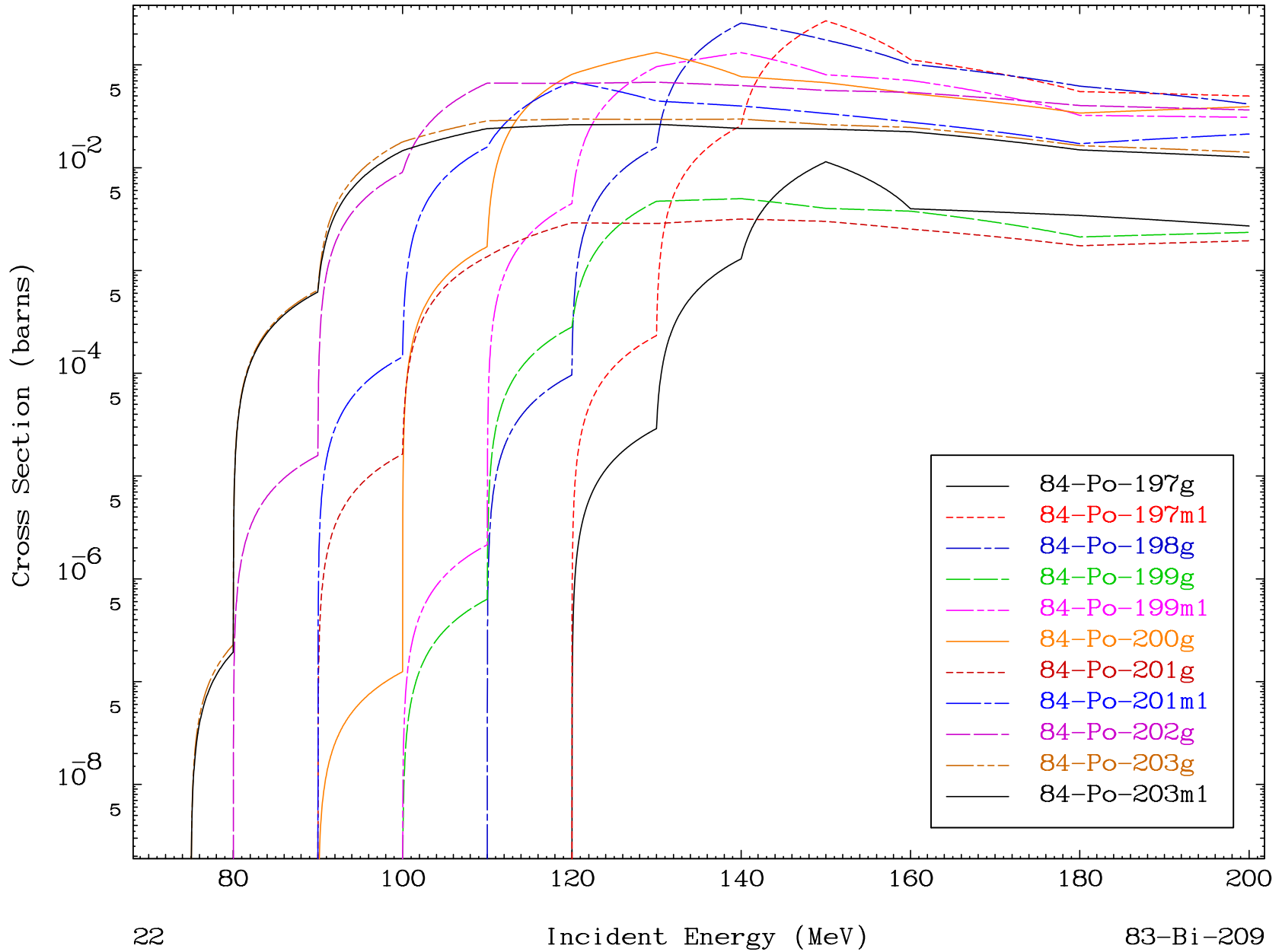


Radionuclide Production Cross Section

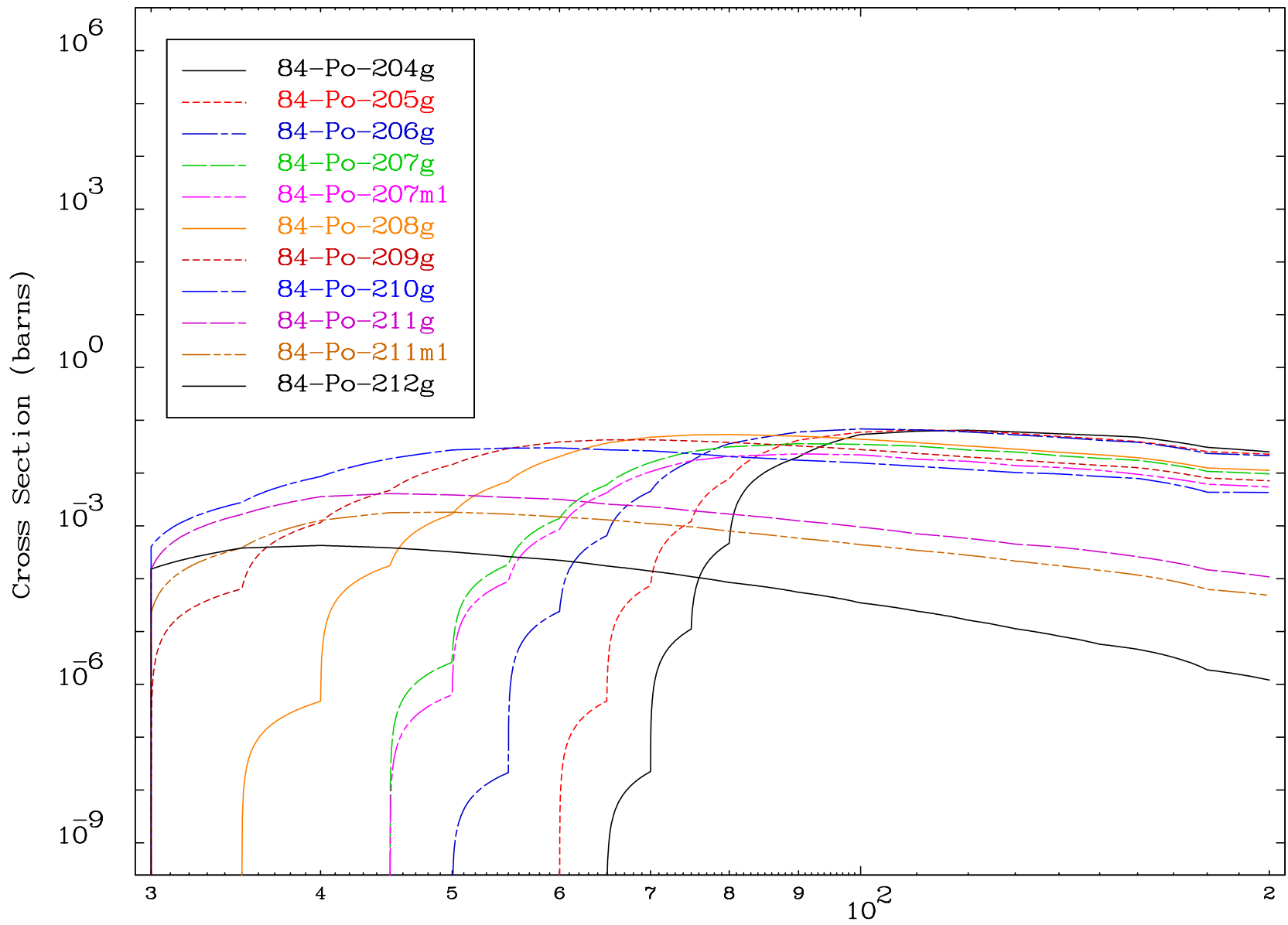


Radionuclide Production Cross Section

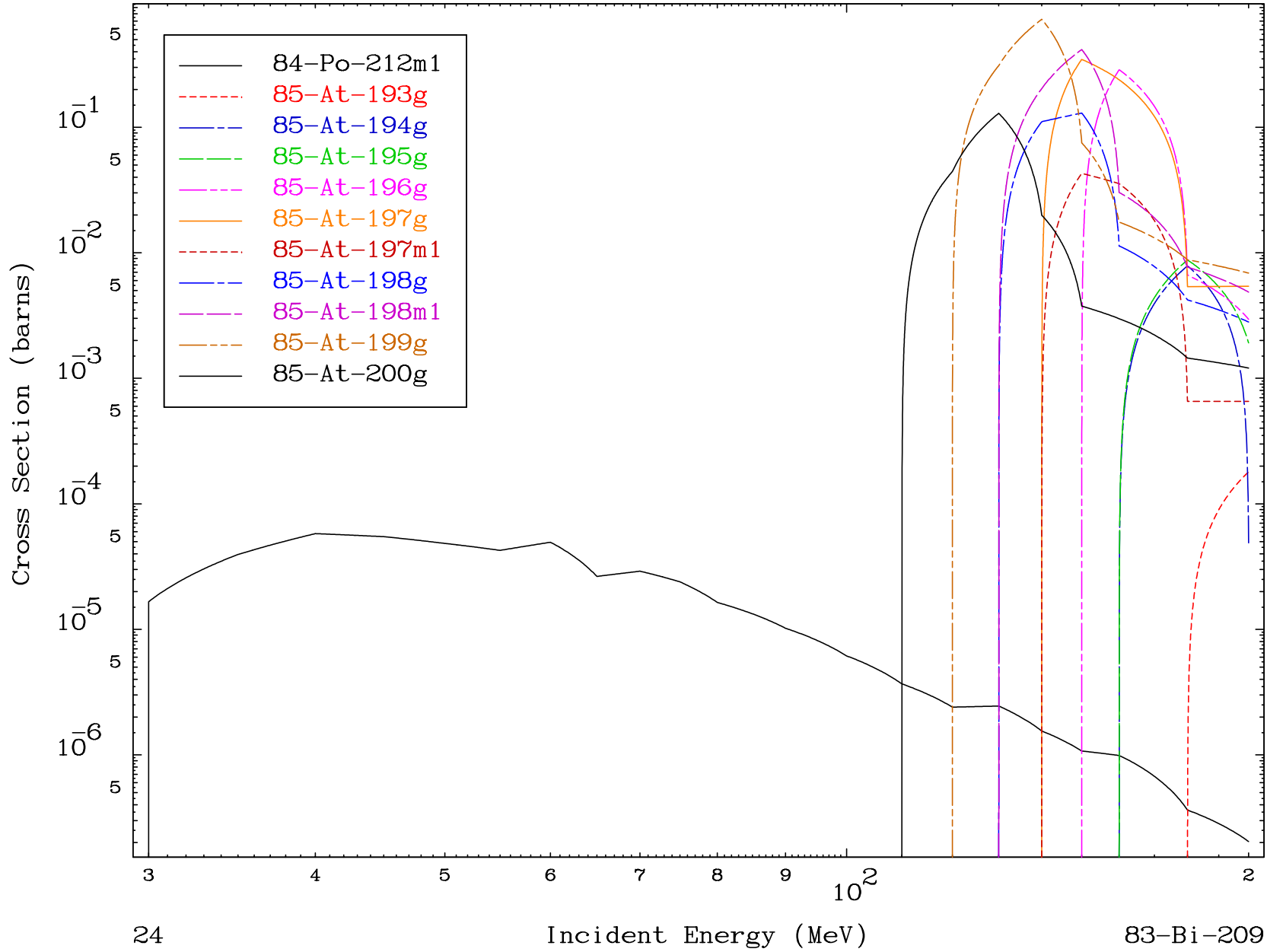




Radionuclide Production Cross Section



Radionuclide Production Cross Section

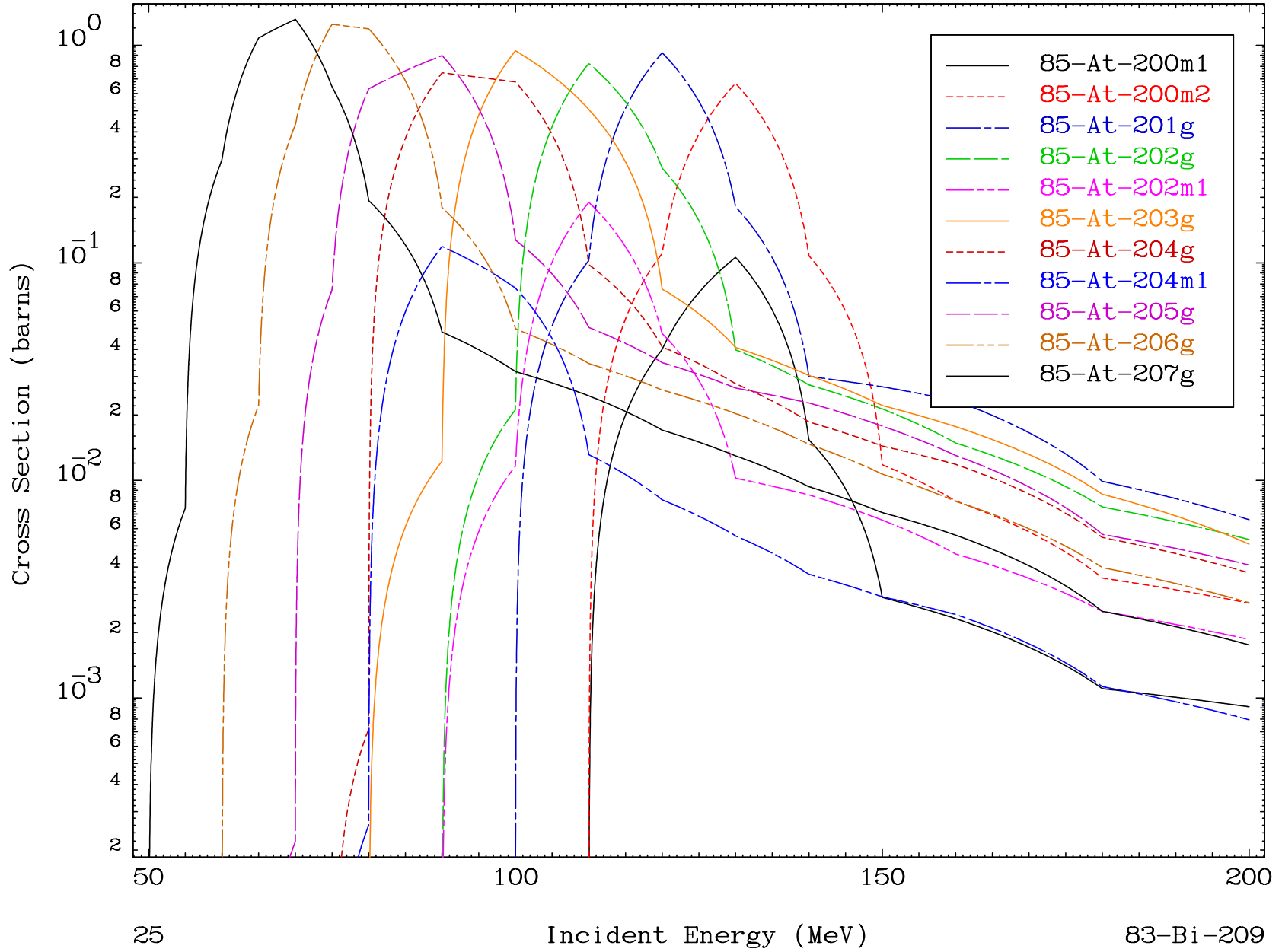


MAT 8325

(α , remainder)

83-Bi-209

Radionuclide Production Cross Section

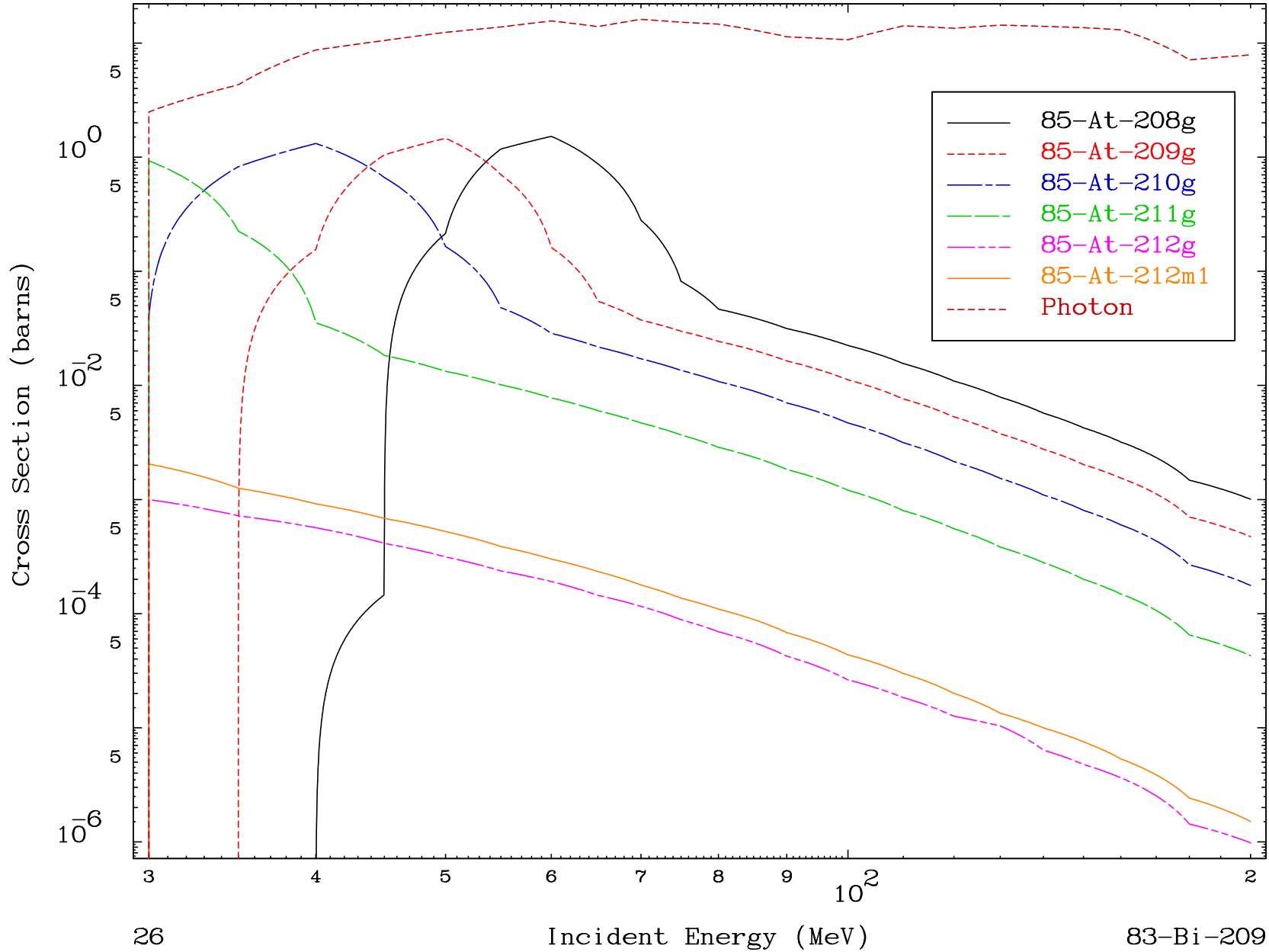


MAT 8325

(α , remainder)

83-Bi-209

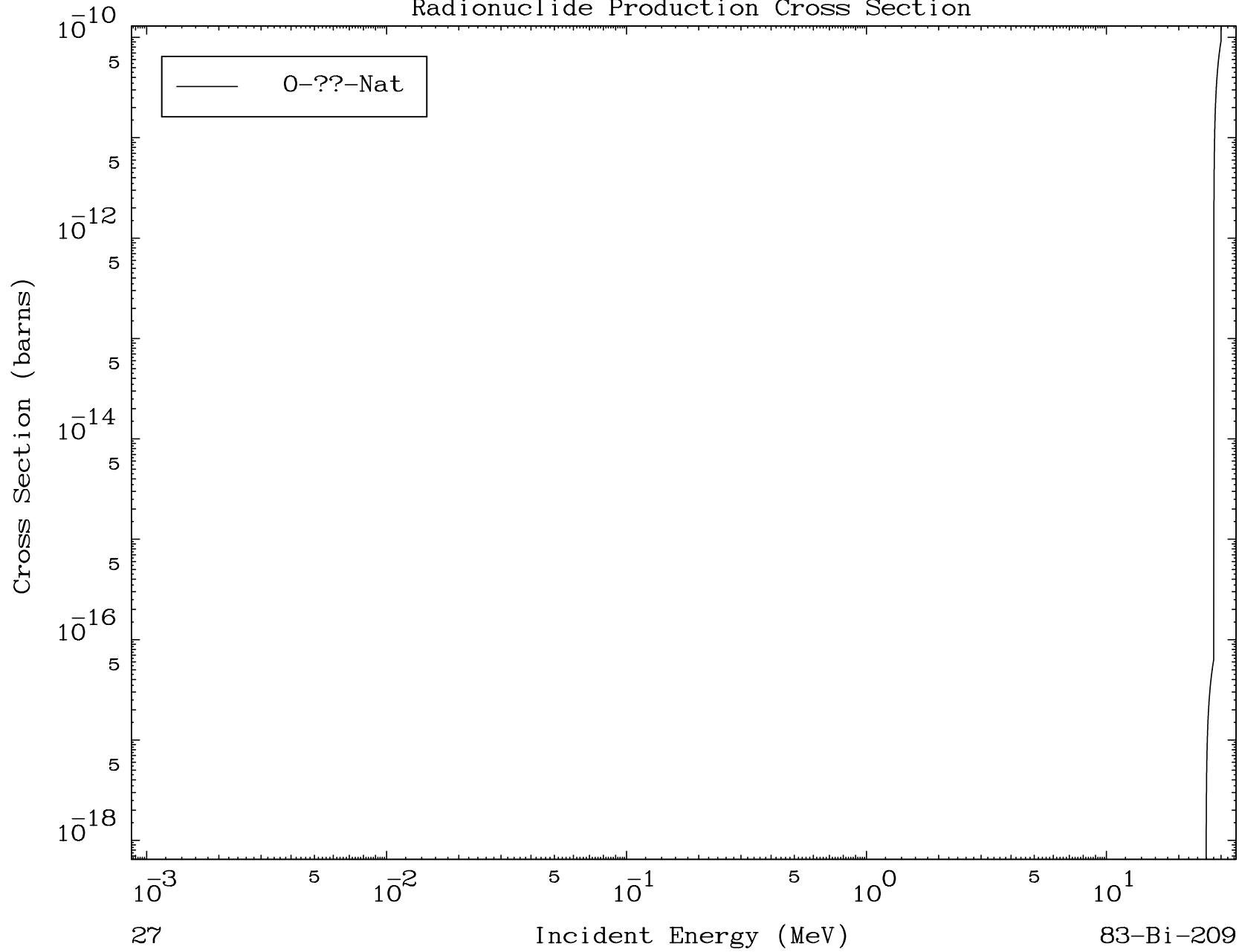
Radionuclide Production Cross Section



MAT 8325

α Fission
Radionuclide Production Cross Section

83-Bi-209



27

Incident Energy (MeV)

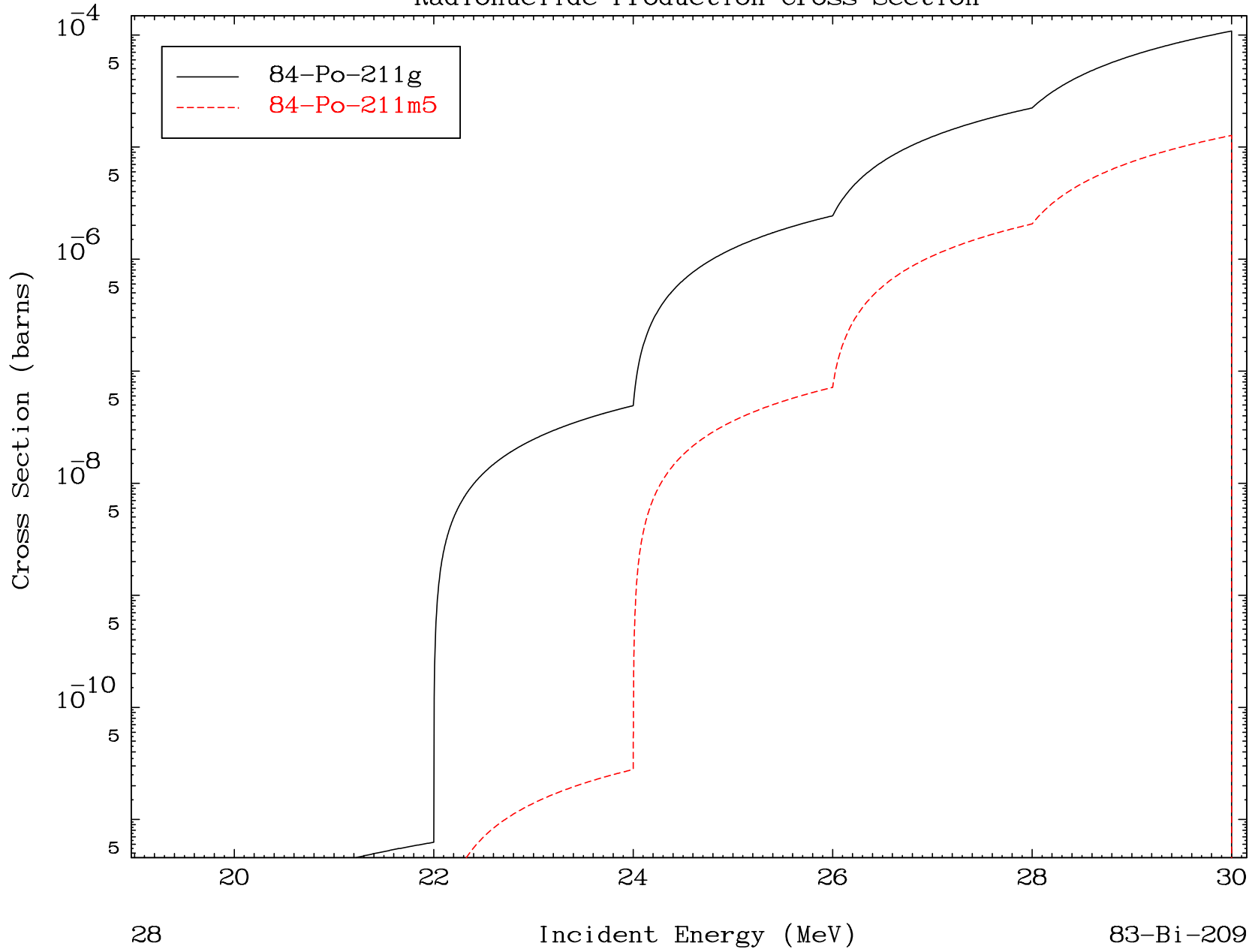
83-Bi-209

MAT 8325

(α, n') p

83-Bi-209

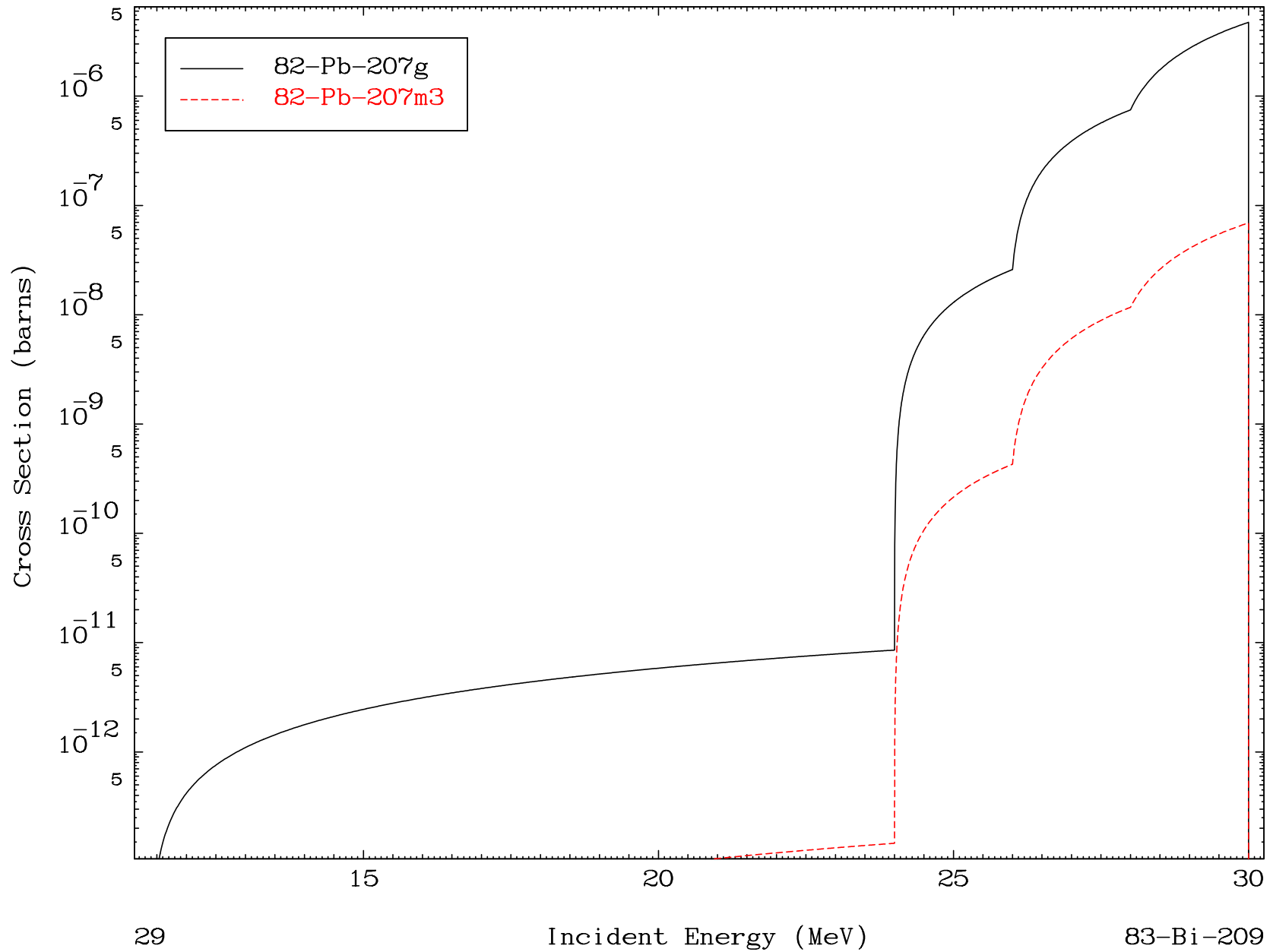
Radionuclide Production Cross Section



MAT 8325

(α, n') p α
Radionuclide Production Cross Section

83-Bi-209

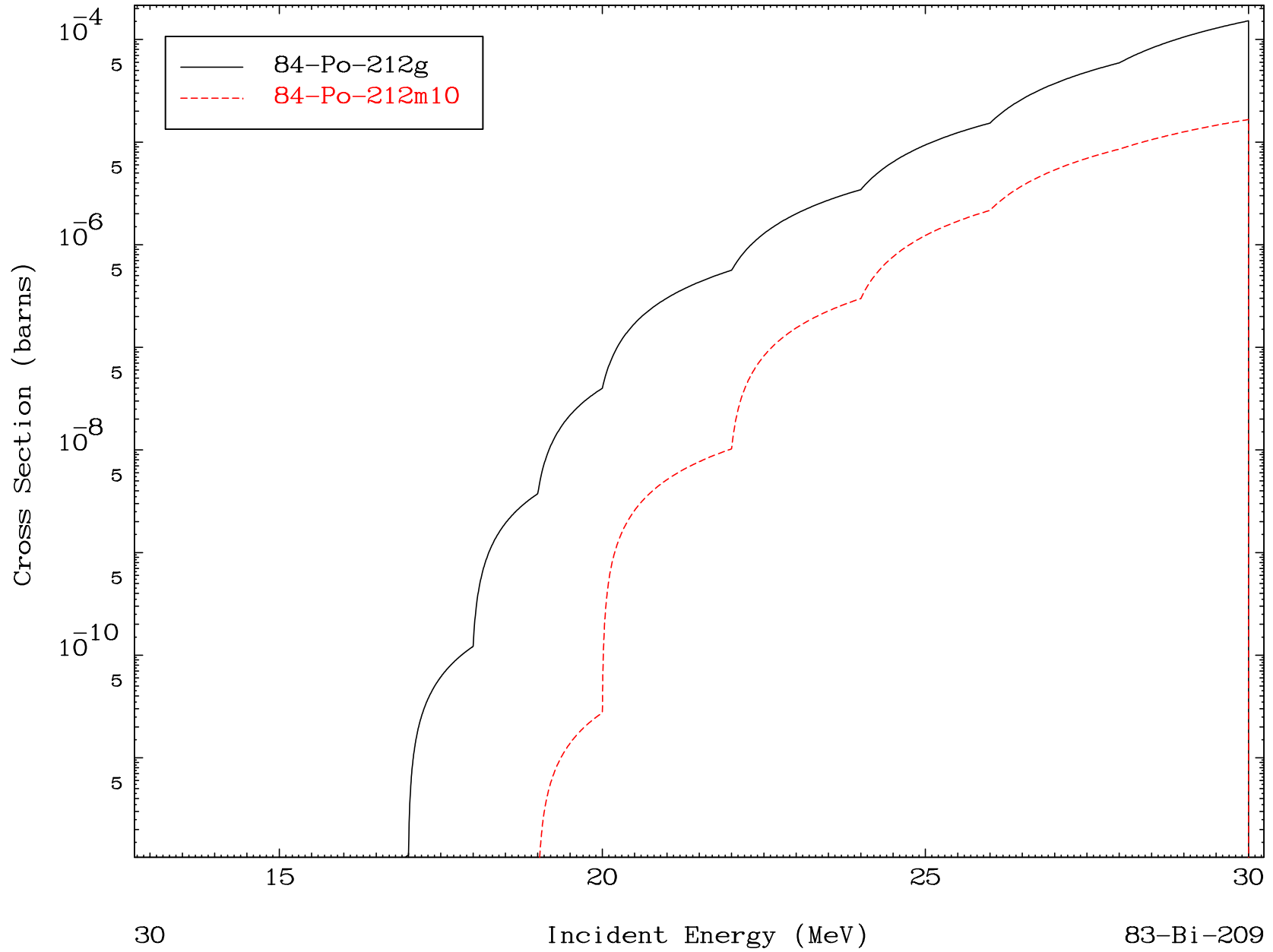


MAT 8325

(α, p)

83-Bi-209

Radionuclide Production Cross Section

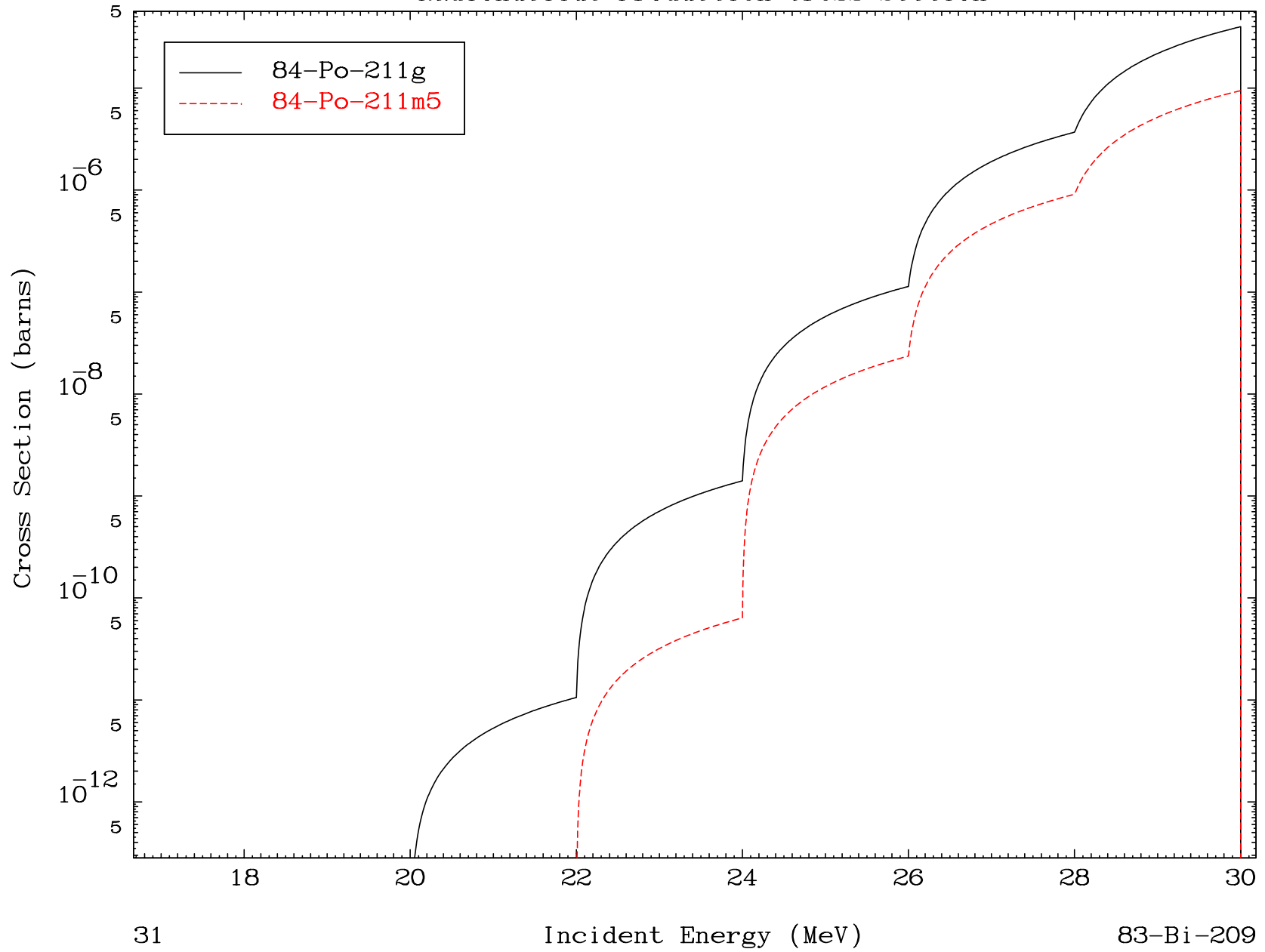


MAT 8325

(α, d)

83-Bi-209

Radionuclide Production Cross Section

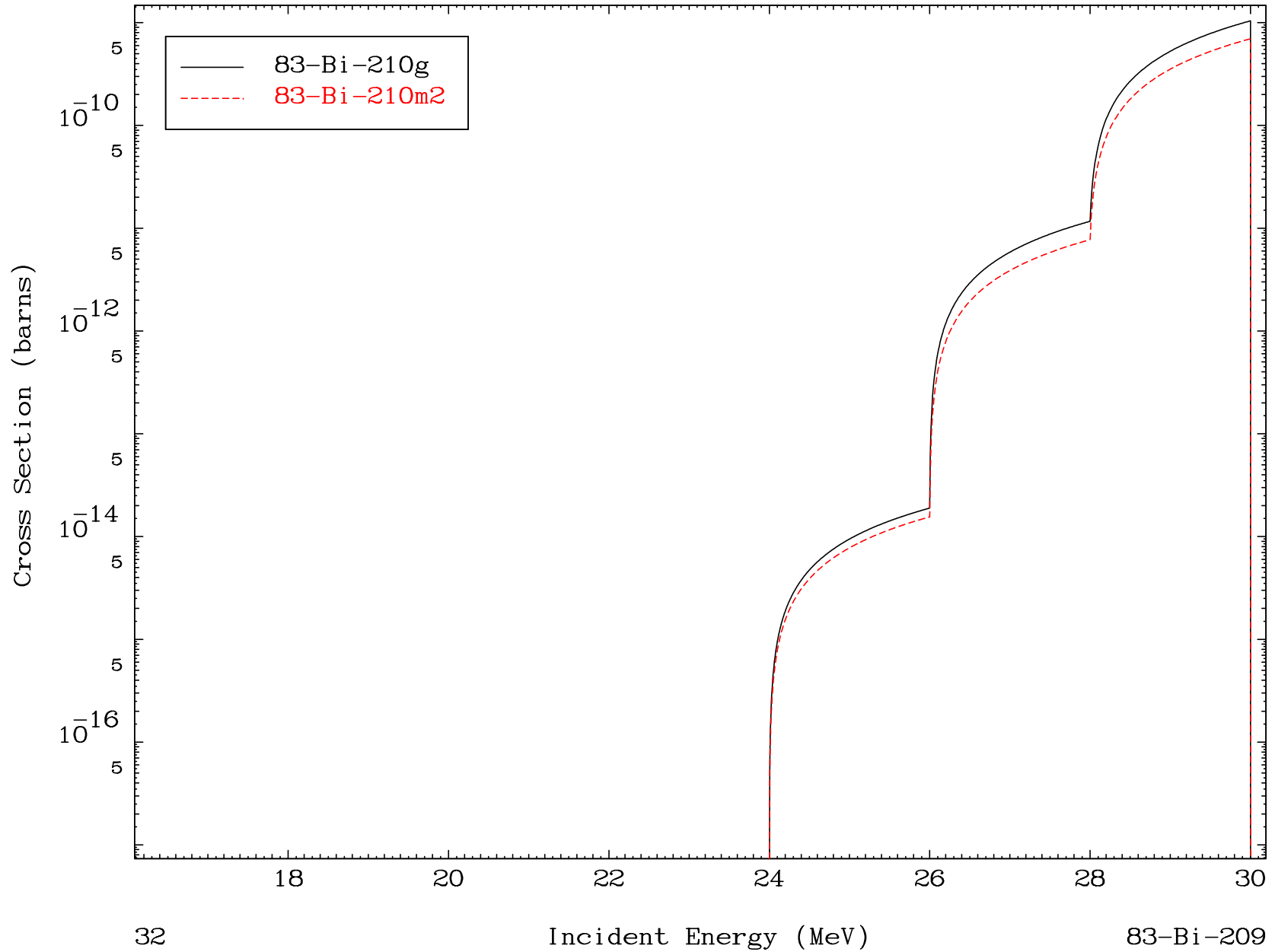


MAT 8325

($\alpha, \text{He-3}$)

83-Bi-209

Radionuclide Production Cross Section



MAT 8325

(α, d) α

83-Bi-209

Radionuclide Production Cross Section

